



Fot. 1.- Panorámica de los escarpes orientales de Fajara, en Orzola, donde se observan los apilamientos de coladas basálticas subhorizontales del estratovolcán de Fajara, con los tramos inferior (I), medio (M) y superior (S). A la izquierda se aprecia un edificio piroclástico enterrado (EP).

Autor: R. Balcells

Edad: Mioceno-Plioceno



Fot. 10.- Volcán La Corona, visto desde el sureste, apoyado sobre relieves del estratovolcán de Famara, recubiertos de piroclastos de disposición de dicho edificio.  
Autor: R. Balcells Edad: Cuaternario



Fot. 11.- Volcán La Corona, visto desde el norte. En primer término, coladas basálticas escoriáceas procedentes de él.

Autor: R. Balcells

Edad: Cuaternario



Fot. 12.- Malpaís de coladas basálticas escoriáceas procedentes del volcán cuaternario La Quemada de Orzola (Q), cayendo por los relieves miocenos del estratovolcán de Pamara (F).

Autor: R. Balcells

Edad: Cuaternario



Fot. 13.- Malpais de coladas basálticas escoriáceas, de los volcanes La Quemada de Orzola y La Corona, al sur del pueblo de Orzola.

Autor: R. Balcells

Edad: Cuaternario



Fot. 14.- Hundimiento local del techo de un tubo volcánico (jameo) procedente del volcán La Corona.

Autor: R. Balcells

Edad: Cuaternario



Fot. 15.- Megabloques de lavas escoriáceas sobresaliendo del malpais del volcán La Quemada de Orzola, al sur de Orzola.

Autor: R. Balcells

Edad: Cuaternario



Fot. 16.- Malpaís de lavas basálticas del volcán La Corona, degradado y semicubierto por depósitos de vertiente, al pie de los escarpes occidentales de Famara. Al fondo, la isla de La Graciosa.

Autor: R. Balcells

Edad: Cuaternario





Fot. 17.- Coladas basálticas escoriáceas del volcán La Corona, al pié del escarpe occidental de Famara. Al fondo, la isla de La Graciosa.

Autor: R. Balcells

Edad: Cuaternario



Fot. 18.- Depósitos de areniscas y conglomerados marinos fosilíferos, junto a las casas de Bajo Risco, al pié del escarpe occidental de Famara.

Autor: R. Balcells

Edad: Cuaternario



Fot. 19.- Depósitos de areniscas marinas sobre las coladas del malpaís de La Corona, al norte de Casas de Escamas.

Autor: R. Balcells

Edad: Cuaternario



Fot. 2.- Panorámica de los escarpes occidentales de Famara, desde la isla de La Graciosa, en donde se aprecia el apilamiento de coladas basálticas subhorizontales y las vertientes cubiertas de depósitos de ladera.  
Autor: R. Balcells

Edad: Mioceno



Fot. 20.- Detalle de los depósitos marinos fosilíferos de la fotografía anterior.

Autor: R. Balcells

Edad: Cuaternario



Fot. 21.- Abancos de depósitos detríticos recubriendo los relieves miocenos de Famara, en Valle Grande. Al fondo se observa el malpaís de los volcanes La Quemada de Orzola-La Corona.

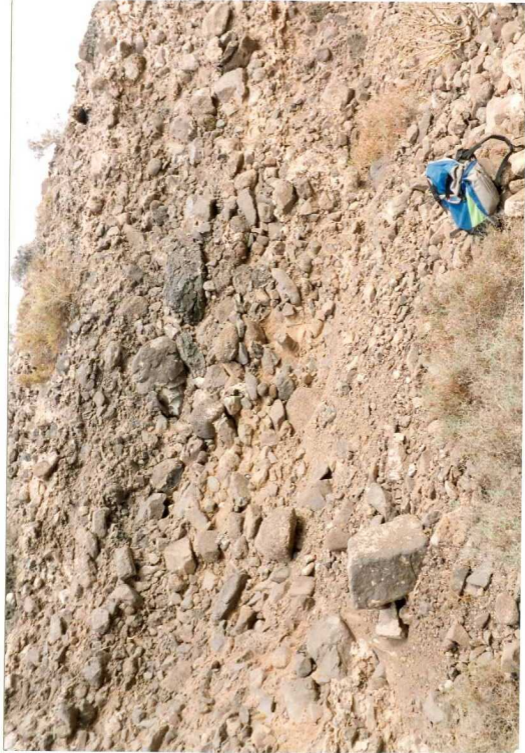
Autor: R. Balcells

Edad: Cuaternario



Fot. 22.- Depósitos detríticos de carácter aluvial, aterrazados en la ladera norte del Valle de Fuente Dulce.  
Autor: R. Balcells

Edad: Cuaternario



Fot. 23.- Detalle de los depósitos aluviales de la fotografía anterior.

Autor: R. Balcells

Edad: Cuaternario





Fot. 24.- Arenas eólicas pleistocenas, sobre los depósitos de la fotografía anterior.  
Autor: R. Balcells

Edad: Cuaternario



Fot. 25.- Arenas eólicas organógenas sobre las coladas basálticas del malpaís de La Corona, en la Caleta del Mojón Blanco.

Autor: R. Balcells

Edad: Cuaternario



Fot. 26.- Playa del Risco, al pié del escarpe occidental de Famara, frente a la isla de La Graciosa.

Autor: R. Balcells

Edad: Cuaternario



Fot. 27.- Isla de La Graciosa. Panorámica de la isla, desde el vértice Batería, junto al Mirador del Río.

Autor: R. Balcells

Edad: Cuaternario



Fot. 28.- Isla de La Graciosa. Panorámica de la costa suroccidental de la isla en la que se observa el edificio Montaña Amarilla y sus emisiones de lava semicubiertas por arenas eólicas.

Autor: R. Balcells

Edad: Cuaternario



Fot. 29.- Isla de La Graciosa. Montaña Amarilla vista desde el sur. Se aprecia un sector inferior del edificio formado por piroclastos hidromagmáticos palagonitizados (de color amarillo) y en la cumbre, piroclastos oscuros formados durante la fase subaérea (estromboliana). Asimismo se observa un dique basáltico atravesando los piroclastos.

Autor: R. Balcells

Edad: Cuaternario



Fot. 3.- Panorámica de los escarpes occidentales de Famara cerca de Yé, en la que se observan potentes depósitos detríticos de ladera apoyados sobre las coladas basálticas del estratovolcán de Famara. A la derecha, las coladas del volcán cuaternario La Corona, cayendo por el escarpe hacia la costa.

Autor: R. Balcells

Edad: Mioceno



Fot. 30.- Isla de La Graciosa. Detalle de los depósitos piroclásticos hidromagmáticos de la fotografía anterior.

Autor: R. Balcells

Edad: Cuaternario





Fot. 31.- Isla de La Graciosa. Costa suroccidental de la isla formada por coladas basálticas procedentes de Montaña Amarilla. Al fondo Montaña Clara y Alegranza.  
Autor: R. Balcells  
Edad: Cuaternario



Fot. 32.- Isla de La Graciosa. Dique basáltico atravesando el edificio Montaña Amarilla, en la Punta del Pobre. El dique se abre hacia la izquierda, dando lugar a coladas basálticas.

Autor: R. Balcells

Edad: Cuaternario



Fot. 33.- Isla de La Graciosa. Depósitos hidromagmáticos en la ladera sur de Montaña Aguja Grande (H), cubiertos por depósitos piroclastos de fases estrombolianas (E).

Autor: R. Balcells

Edad: Cuaternario



Pot. 34.- Isla de La Graciosa. Coladas basálticas con disyunción columnar, en Caleta Morro de Abajo, parcialmente recubiertas por depósitos arenosos alterados.

Autor: R. Balcells

Edad: Cuaternario



Fot. 35.- Isla de La Graciosa. Arenas eólicas organógenas adosadas a las coladas basálticas de Montaña Amarilla, en la zona de La Burrera.

Autor: R. Balcells

Edad: Cuaternario



Fot. 36.- Isla de La Graciosa. Detalle de las arenas eólicas de la fotografía anterior.

Autor: R. Balcells

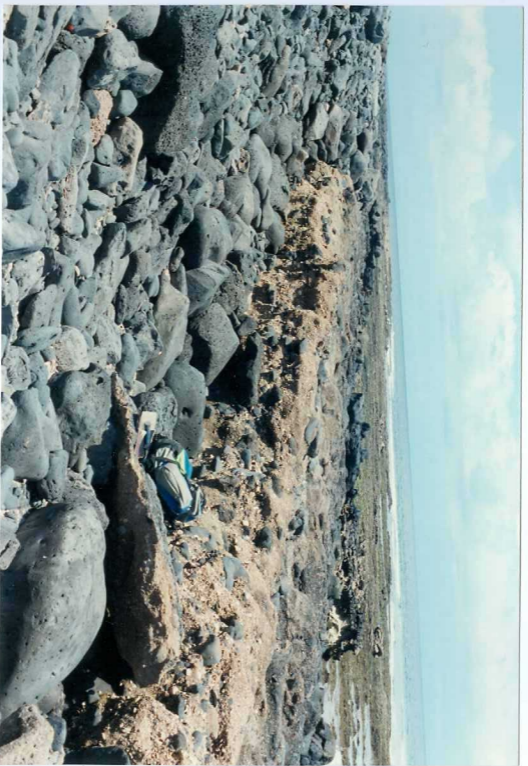
Edad: Cuaternario



Fot. 37.- Isla de La Graciosa. Aspecto de los depósitos de la rasa marina erbanense frente a los acantilados occidentales de Famara.

Autor: R. Balcells

Edad: Cuaternario



Pot. 38.- Isla de La Graciosa. Depósitos de areniscas marinas fosilíferas pertenecientes a la rasa marina erbanense, en la zona de Bajo del Corral.

Autor: R. Balcells

Edad: Cuaternario





Fot. 39.- Isla de La Graciosa. Detalle de los depósitos fosilíferos de la fotografía anterior.

Autor: R. Balcells

Edad: Cuaternario



Fot. 4.- Apilamiento de coladas basálticas del estratovolcán de Famara, con un centro de emisión piroclástico enterrado por coladas basálticas del tramo superior (S), en Valle Grande.

Autor: R. Balcells

Edad: Plio-Cuaternario



Fot. 40.- Isla de La Graciosa. Playa arenosa actual sobre depósitos de la rasa marina erbanense, en la Bahía del Salado.

Autor: J.A. Gómez

Edad: Cuaternario



Fot. 41.- Isla de La Graciosa. Arenas eólicas costeras en la zona de playa del Francés.  
Al fondo, los acantilados occidentales de Famara.

Autor: J.A. Gómez

Edad: Cuaternario



Fot. 5.- Relieves parcialmente degradados y encalichados del estratovolcán de Famara, en la Loma de Fuente Salada.

Autor: R. Balcells

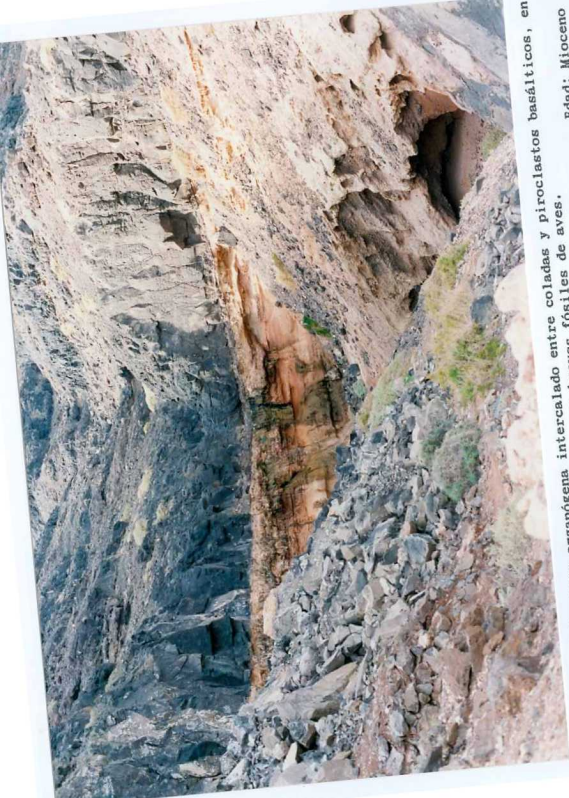
Edad: Mioceno



Fot. 6.- Apilamiento de coladas basálticas del estratovolcán de Famara, en la zona de Guatifay, en donde se observa la disyunción columnar en algunas unidades lávicas.

Autor: R. Balcells

Edad: Mioceno-Plioceno



Edad: Mioceno

Fot. 7.- Nivel de arena organógena intercalado entre coladas y piroclastos basálticos, en Valle Chico. En él se encontraron huevos fósiles de aves.

Autor: R. Balcells

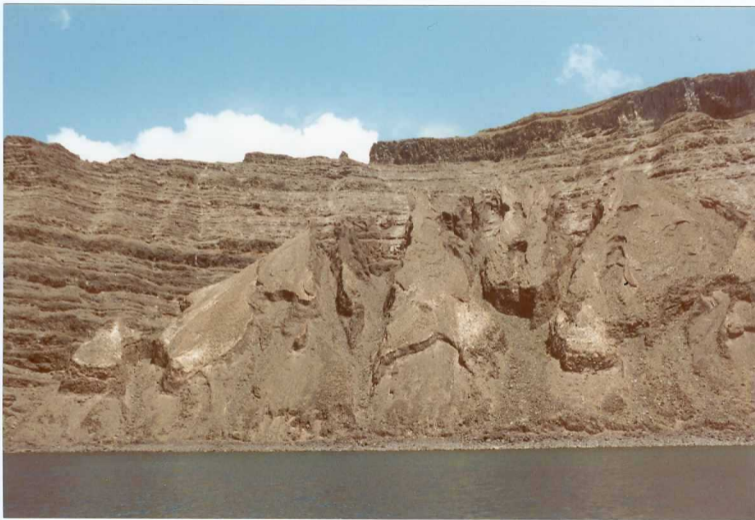


Fot. 8.- Afloramiento de arenas organógenas intercaladas en coladas basálticas del estratovolcán de Famara, en Fuente Gusa; en ellas se encontraron huevos fósiles de aves. Se observa un naciente en el contacto.

Autor: J.A. Gómez

Edad: Mioceno





Fot. 9.- Potentes depósitos detríticos de ladera, adosados a los relieves occidentales del estratovolcán de Famara, cerca de Punta Fariones.

Autor: R. Balcells

Edad: Cuaternario